

西之島の地殻変動*

Crustal Deformations of Nishinoshima Volcano

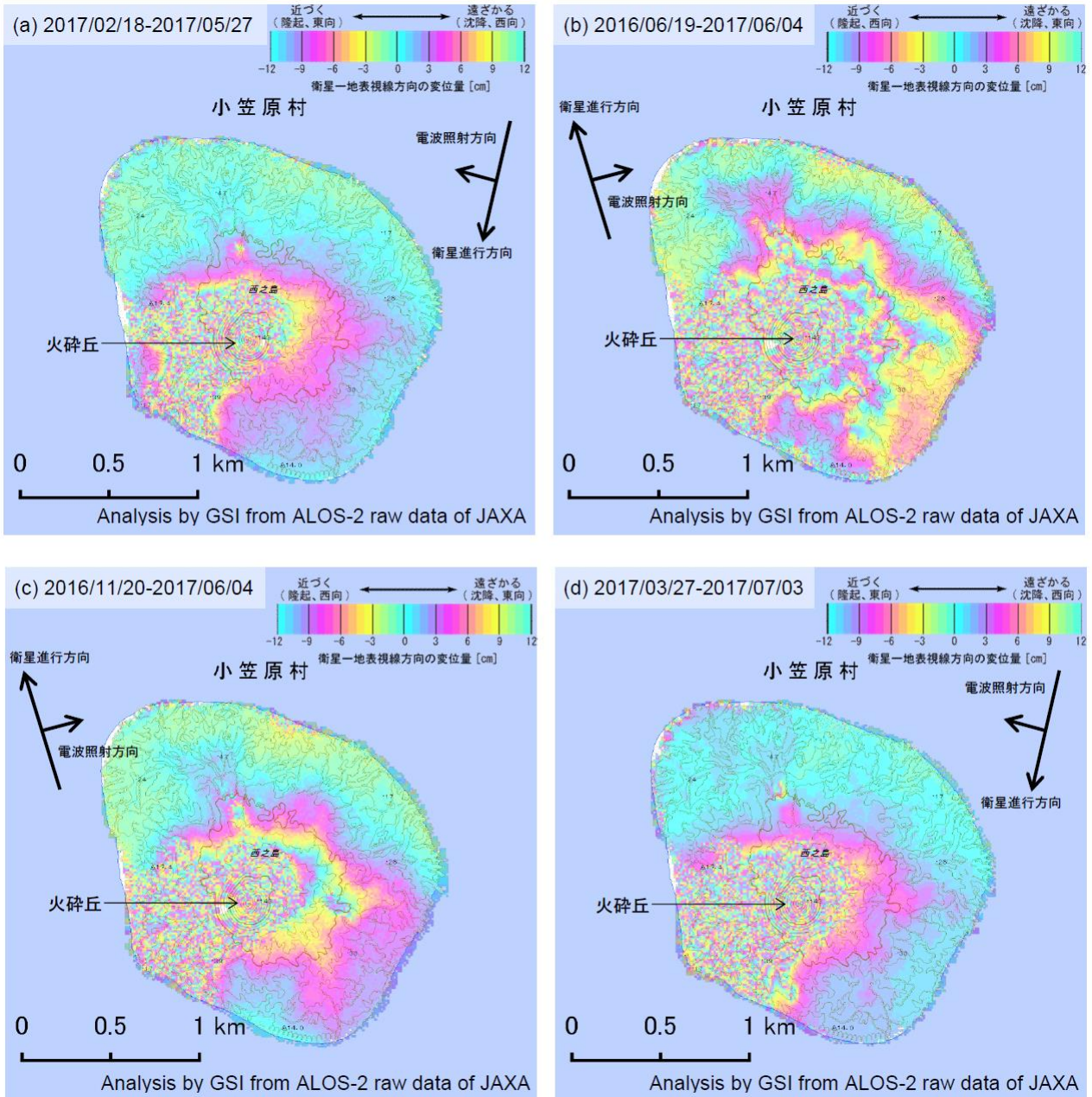
国土地理院
Geospatial Information Authority of Japan

第 1-1 図及び第 1-2 図は、「だいち 2 号」の SAR 干渉解析結果である。

(a)～(f)では、火砕丘周辺で衛星から遠ざかる変動が見られ、火砕丘周辺とその西には非干渉領域が見られる。(g)では、火砕丘の西と南西の沿岸に溶岩流が拡大しているのが見られる。

謝辞

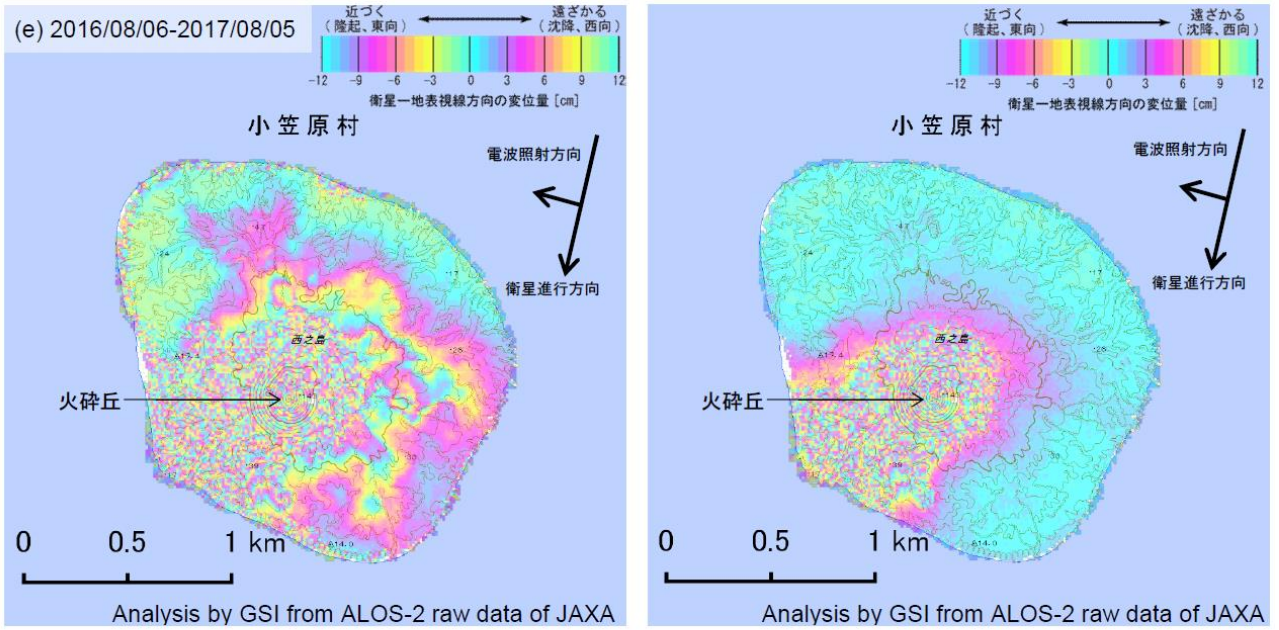
ここで使用した「だいち 2 号」の原初データの所有権は、JAXA にあります。これらのデータは、「だいち 2 号」に関する国土地理院と JAXA の間の協定に基づき提供されました。



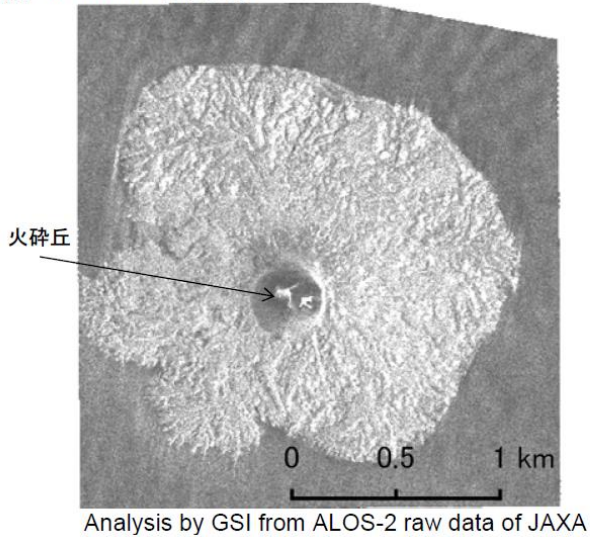
背景：地理院地図 標準地図

第1-1図 「だいち2号」 PALSAR-2による西之島の解析結果

Fig.1-1 Interferometric analysis of SAR acquired by ALOS-2 PALSAR-2 of Nishinoshima Volcano.



(g) 2017/08/05 強度画像



背景：地理院地図 標準地図

	(a)	(b)	(c)	(d)	(e)	(f)	(g)
衛星名	ALOS-2	ALOS-2	ALOS-2	ALOS-2	ALOS-2	ALOS-2	ALOS-2
観測日時	2017/02/18 2017/05/27 11:38 頃 (98 日間)	2016/06/19 2017/06/04 23:35 頃 (350 日間)	2016/11/20 2017/06/04 23:35 頃 (196 日間)	2017/03/27 2017/07/03 11:31 頃 (98 日間)	2016/08/06 2017/08/05 11:38 頃 (364 日間)	2017/05/27 2017/08/05 11:38 頃 (70 日間)	2017/08/05 11:38 頃
衛星進行方向	南行	北行	北行	南行	南行	南行	南行
電波照射方向	右	右	右	右	右	右	右
観測モード*	U-U	U-U	U-U	U-U	U-U	U-U	U-U
入射角(中心)	31.5°	34.3°	34.3°	42.9°	31.5°	31.5°	31.5°
偏波	HH	HH	HH	HH	HH	HH	HH
垂直基線長	-512 m	-86 m	+122 m	+62 m	0 m	-8 m	--

*U: 高分解能(3m)モード

第1-2図 「だいち2号」 PALSAR-2 による西之島の解析結果

Fig.1-2 Interferometric analysis of SAR acquired by ALOS-2 PALSAR-2 of Nishinoshima Volcano.